

## BAB V

### ANALISIS DAN INTERPRETASI

#### 5.1. Load Flow Analysis

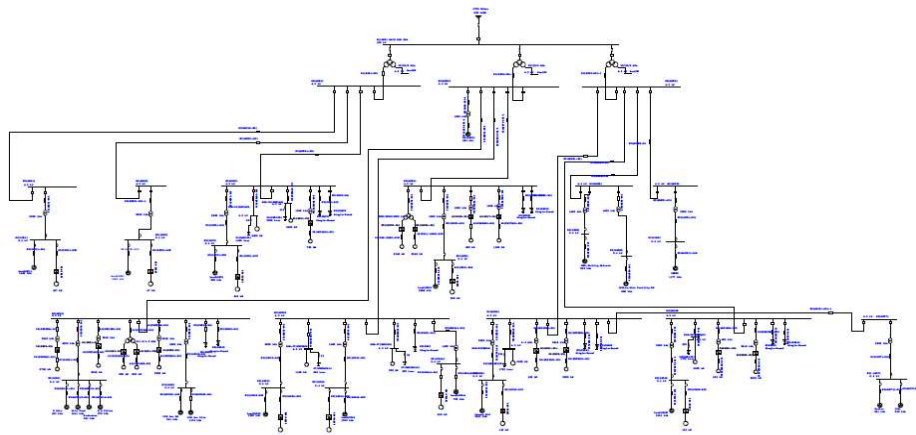
##### 5.1.1 Pemodelan Sistem Kelistrikan Pabrik Semen Aceh

Untuk tujuan analisis, dilakukan pemodelan sistem kelistrikan dengan menggunakan Software ETAP versi 12.6. Pemodelan dilakukan berdasarkan data peralatan sistem kelistrikan Pabrik Semen Aceh untuk kondisi pembebanan maksimum.

Hasil pemodelan Sistem Kelistrikan Pabrik Semen Aceh ditunjukkan pada Gambar 5.1, yaitu ETAP Single Line Diagram dan output dari program Load Flow adalah tegangan dan faktor daya dari tiap-tiap bus serta aliran daya pada tiap saluran.

##### 5.1.2 Load Flow Analysis

Load Flow Analysis pada sistem kelistrikan Pabrik Semen Aceh dilakukan dengan menggunakan Software ETAP versi 12.6 adalah sebagai berikut :



Gambar 5.1. Model Sistem Kelistrikan Pabrik Semen Aceh

Detail model atau single line bisa dilihat secara lebih jelas pada lampiran 2.

### 5.1.2.1. Simulasi Load Flow

Dilakukan untuk memperkirakan nilai tegangan dan power factor pada tiap-tiap bus (tanpa capacitor bank). Model sistem kelistrikan Pabrik Aceh dengan kondisi pembebatan sesuai dengan data yang diperoleh digunakan pada simulasi ini. Hasil simulasi (bus-bus utama) ditunjukkan pada Tabel 5.1.

**Tabel 5.1.** Hasil Simulasi Load Flow Pabrik Semen Aceh (Tanpa Filter)

| Bus ID       | Nominal KV | Voltage (%) | MVA   | MW Loading | Mvar Loading | Amp Loading | PF    |
|--------------|------------|-------------|-------|------------|--------------|-------------|-------|
| MAIN BUS PLN | 150        | 100         | 60,54 | 42,65      | 42,963       | 233         | 70,45 |
| 821MV011     | 6,3        | 96,28       | 12,93 | 10,752     | 7,189        | 1231        | 83,13 |
| 821MV021     | 6,3        | 92,14       | 24,82 | 17,795     | 17,303       | 2469        | 71,69 |
| 821MV031     | 6,3        | 92,23       | 0,00  | 13,807     | 12,433       | 1846        | 18,58 |
| 821MV042     | 6,3        | 92,14       | 0,00  | 2,109      | 1,693        | 269         | 2,70  |
| 831-LV04.1   | 0,4        | 87,67       | 1,06  | 0,849      | 0,641        | 1751        | 79,82 |
| 831-LV05.1   | 0,4        | 83,95       | 1,14  | 0,913      | 0,688        | 1966        | 79,86 |
| 831-LV05.2   | 0,4        | 89,77       | 1,07  | 0,851      | 0,648        | 1720        | 79,55 |
| 831-LV05.3   | 0,4        | 89,19       | 1,07  | 0,85       | 0,648        | 1730        | 79,54 |
| 831-LV05.4   | 0,4        | 88,36       | 1,00  | 0,797      | 0,605        | 1634        | 79,65 |
| 831-LV06.1   | 0,4        | 86,49       | 0,80  | 0,635      | 0,478        | 1327        | 79,89 |
| 831-LV07.1   | 0,4        | 87,81       | 1,11  | 0,888      | 0,669        | 1827        | 79,84 |
| 831-LV08.1   | 0,4        | 87,09       | 1,41  | 1,129      | 0,851        | 2343        | 79,86 |
| 831.LV01.1   | 0,4        | 92,25       | 0,86  | 0,696      | 0,511        | 1352        | 80,60 |
| 831.LV02.1   | 0,4        | 91,84       | 1,17  | 0,933      | 0,7          | 1833        | 79,99 |
| 831.LV03.1   | 0,4        | 92,07       | 0,57  | 0,457      | 0,345        | 898,3       | 79,83 |
| 831.LV08.2   | 0,4        | 87,19       | 1,35  | 1,079      | 0,813        | 2237        | 79,85 |
| 831.LV09.1   | 0,4        | 83,45       | 1,35  | 1,073      | 0,811        | 2327        | 79,79 |
| 831.LV10.1   | 0,4        | 89,32       | 1,06  | 0,845      | 0,636        | 1709        | 79,87 |
| 831.LV11.1   | 0,4        | 86,47       | 1,04  | 0,831      | 0,63         | 1741        | 79,72 |
| 831.LV12.1   | 0,4        | 85,9        | 0,93  | 0,744      | 0,564        | 1569        | 79,69 |
| 831.LV12.2   | 0,4        | 87,16       | 0,98  | 0,781      | 0,589        | 1620        | 79,87 |
| 831MV012     | 6,3        | 94,94       | 1,91  | 1,495      | 1,191        | 184,5       | 78,21 |
| 831MV021     | 6,3        | 94,87       | 1,24  | 0,961      | 0,777        | 119,3       | 77,77 |
| 831MV031     | 6,3        | 95,27       | 0,80  | 0,61       | 0,515        | 76,82       | 76,42 |
| 831MV041     | 6,3        | 90,15       | 0,00  | 7,164      | 4,387        | 853,9       | 8,40  |
| 831MV051     | 6,3        | 89,82       | 12,11 | 8,248      | 8,861        | 1235        | 68,14 |
| 831MV052     | 6,3        | 90,68       | 3,60  | 2,947      | 2,075        | 364,2       | 81,77 |
| 831MV061     | 6,3        | 89,46       | 0,00  | 0,641      | 0,515        | 84,22       | 0,82  |
| 831MV071     | 6,3        | 90,34       | 0,00  | 3,096      | 3,489        | 473,1       | 4,66  |
| 831MV081     | 6,3        | 91,14       | 0,00  | 5,873      | 5,337        | 798         | 7,94  |
| 831MV082     | 6,3        | 90,95       | 0,00  | 6,938      | 6,216        | 938,6       | 9,32  |
| 831MV091     | 6,3        | 88,56       | 0,00  | 1,087      | 0,925        | 147,7       | 1,43  |
| 831MV101     | 6,3        | 91,73       | 1,11  | 0,868      | 0,698        | 111,3       | 77,90 |
| 831MV111     | 6,3        | 91,61       | 1,10  | 0,858      | 0,694        | 110,4       | 77,75 |
| 831MV121     | 6,3        | 91,71       | 2,03  | 1,571      | 1,279        | 202,4       | 77,54 |
| 831MV131     | 6,3        | 91,43       | 0,67  | 0,526      | 0,411        | 66,9        | 78,83 |

#### 5.1.2.2. Analisis Hasil Simulasi Load Flow

Hasil simulasi Load Flow sistem kelistrikan Pabrik Semen Aceh menunjukkan bahwa terdapat tegangan pada bus yang mempunyai nilai tegangan mendekati 90 % (5,67 kV untuk MV dan 342 volt untuk LV, yaitu berada di dekat batas tegangan yang diijinkan (90%-110%) dan Power Factor minimum 70,45% di Main Bus 150 kV dengan konsumsi daya 60,54 MVA.

#### 5.1.2.3. Peningkatan Power Factor

Untuk memperbaiki Power Factor, digunakan Capacitor Bank (terpasang sebagai filter harmonik) yang dipasang pada Bus 6.3 kV (ER) sebagai berikut :

|              |   |           |
|--------------|---|-----------|
| Bus 831MV031 | : | 1650 kVar |
| Bus 831MV031 | : | 2700 kVar |
| Bus 831MV041 | : | 1800 kVar |
| Bus 831MV041 | : | 2200 kVar |
| Bus 831MV042 | : | 2700 kVar |
| Bus 831MV051 | : | 1800 kVar |
| Bus 831MV051 | : | 2200 kVar |
| Bus 831MV061 | : | 1800 kVar |
| Bus 831MV061 | : | 2200 kVar |
| Bus 831MV062 | : | 1800 kVar |
| Bus 831MV062 | : | 2200 kVar |

Untuk meningkatkan Power Factor di Main Bus menjadi ~ 95%.

Hasil simulasi peningkatan Power Factor (bus-bus utama) ditunjukkan pada Tabel 5.2.

**Tabel 5.2.** Hasil Simulasi Peningkatan Power Factor (dengan Filter)

| Bus ID       | Nominal kV | Voltage (%) | MVA   | MW Loading | Mvar Loading | Amp Loading | PF    |
|--------------|------------|-------------|-------|------------|--------------|-------------|-------|
| MAIN BUS PLN | 150        | 100         | 44,88 | 42,364     | 14,819       | 172,7       | 94,39 |
| 821MV011     | 6,3        | 99,61       | 10,64 | 10,628     | 0,599        | 979,4       | 99,84 |
| 821MV021     | 6,3        | 97,81       | 19,36 | 17,765     | 7,687        | 1814        | 91,78 |
| 821MV031     | 6,3        | 96,1        | 0,00  | 13,808     | 4,629        | 1389        | 14,56 |

|            |     |       |       |       |       |       |       |
|------------|-----|-------|-------|-------|-------|-------|-------|
| 821MV042   | 6,3 | 97,81 | 0,00  | 2,12  | 1,687 | 253,8 | 2,71  |
| 831-LV04.1 | 0,4 | 93,32 | 1,07  | 0,857 | 0,646 | 1660  | 79,84 |
| 831-LV05.1 | 0,4 | 90,75 | 1,16  | 0,924 | 0,695 | 1839  | 79,88 |
| 831-LV05.2 | 0,4 | 96,82 | 1,08  | 0,856 | 0,651 | 1603  | 79,61 |
| 831-LV05.3 | 0,4 | 96,28 | 1,07  | 0,856 | 0,651 | 1611  | 79,61 |
| 831-LV05.4 | 0,4 | 95,46 | 1,01  | 0,803 | 0,608 | 1523  | 79,70 |
| 831-LV06.1 | 0,4 | 93,4  | 0,80  | 0,64  | 0,481 | 1237  | 79,94 |
| 831-LV07.1 | 0,4 | 95,3  | 1,13  | 0,899 | 0,677 | 1705  | 79,86 |
| 831-LV08.1 | 0,4 | 91,87 | 1,42  | 1,138 | 0,857 | 2239  | 79,87 |
| 831.LV01.1 | 0,4 | 96,71 | 0,87  | 0,701 | 0,515 | 1298  | 80,61 |
| 831.LV02.1 | 0,4 | 96,24 | 1,18  | 0,94  | 0,705 | 1763  | 80,00 |
| 831.LV03.1 | 0,4 | 95,53 | 0,58  | 0,46  | 0,347 | 871   | 79,84 |
| 831.LV08.2 | 0,4 | 91,95 | 1,36  | 1,087 | 0,819 | 2137  | 79,87 |
| 831.LV09.1 | 0,4 | 88,18 | 1,35  | 1,081 | 0,816 | 2217  | 79,81 |
| 831.LV10.1 | 0,4 | 93,49 | 1,07  | 0,851 | 0,641 | 1645  | 79,88 |
| 831.LV11.1 | 0,4 | 92,49 | 1,05  | 0,837 | 0,633 | 1638  | 79,75 |
| 831.LV12.1 | 0,4 | 91,95 | 0,94  | 0,749 | 0,567 | 1475  | 79,73 |
| 831.LV12.2 | 0,4 | 93,11 | 0,99  | 0,789 | 0,594 | 1530  | 79,89 |
| 831MV012   | 6,3 | 99,09 | 1,94  | 1,503 | 1,226 | 179,3 | 77,49 |
| 831MV021   | 6,3 | 98,95 | 1,54  | 0,972 | 1,198 | 142,9 | 63,00 |
| 831MV031   | 6,3 | 98,63 | 0,80  | 0,613 | 0,516 | 74,46 | 76,51 |
| 831MV041   | 6,3 | 95,42 | 0,00  | 7,197 | 4,09  | 795   | 8,28  |
| 831MV051   | 6,3 | 96,24 | 12,07 | 8,273 | 8,783 | 1149  | 68,57 |
| 831MV052   | 6,3 | 97,3  | 3,93  | 2,97  | 2,575 | 370,2 | 75,57 |
| 831MV061   | 6,3 | 96,16 | 0,00  | 0,644 | 0,513 | 78,5  | 0,82  |
| 831MV071   | 6,3 | 97,32 | 0,00  | 3,119 | 3,812 | 463,7 | 4,92  |
| 831MV081   | 6,3 | 95,51 | 0,00  | 5,899 | 5,188 | 753,8 | 7,86  |
| 831MV082   | 6,3 | 95,32 | 0,00  | 6,963 | 6,061 | 887,6 | 9,23  |
| 831MV091   | 6,3 | 93,04 | 0,00  | 1,094 | 0,919 | 140,7 | 1,43  |
| 831MV101   | 6,3 | 95,62 | 1,12  | 0,872 | 0,698 | 107,1 | 78,07 |
| 831MV111   | 6,3 | 97,31 | 1,10  | 0,861 | 0,69  | 103,9 | 78,02 |
| 831MV121   | 6,3 | 97,41 | 2,03  | 1,578 | 1,273 | 190,7 | 77,83 |
| 831MV131   | 6,3 | 97,14 | 0,67  | 0,531 | 0,412 | 63,42 | 78,97 |

#### 5.1.2.4. Analisis Hasil Simulasi Peningkatan Power Factor

Hasil simulasi Peningkatan Power Factor sistem kelistrikan Pabrik Semen Aceh menunjukkan bahwa tegangan bus-bus mengalami kenaikan dan berada dalam batas tegangan yang diijinkan (90%-110%) (lihat Tabel 5.2). Tabel 5.2 menunjukkan selain peningkatan Power Factor menjadi 94,8 % di Main Bus Aceh (150 kV), dengan konsumsi daya 44,88 MVA. Report hasil simulasi yang lengkap dapat dilihat pada Lampiran 2.

Hasil simulasi diatas juga digunakan untuk menentukan kapasitas minimal dari peralatan dalam keadaan steady-state, seperti ditunjukkan pada Tabel 5.3.a dan b. Berdasarkan hasil simulasi Load Flow/Power Factor menghasilkan rekomendasi untuk Kapasitas Minimum transformator sebagai berikut (pembebatan maximum transformator adalah 75-80% dari kapasitasnya, yang tercetak tebal (bold) menunjukkan kapasitas trafo yang ditentukan/data dibawah kapasitas minimum yang dibutuhkan) :

**Tabel 5.3.a** Kapasitas minimal Trafo 150 kV-6.3 kV sistem kelistrikan Pabrik Semen Aceh.

| Trafo   | MVA<br>(data) | MVA<br>(min) | kV-P | kV-S | kV-T | P<br>(Y) | S (Y) | T ( $\Delta$ ) |
|---------|---------------|--------------|------|------|------|----------|-------|----------------|
| 811TX01 | 30/30/5       | 15/15/5      | 150  | 6.3  | 6.3  | solid    | NGR   | --             |
| 811TX02 | 30/30/5       | 25/25/5      | 150  | 6.3  | 6.3  | solid    | NGR   | --             |
| 811TX03 | 30/30/5       | 22.5/22.5/5  | 150  | 6.3  | 6.3  | solid    | NGR   | --             |

**Tabel 5.3.b** Kapasitas minimal Trafo 6.3 kV-0.4 kV sistem kelistrikan Pabrik Semen Aceh.

| Trafo      | MVA<br>(data) | MVA (min)   | kV-P | kV-S | P<br>(Y) | S (Y) |
|------------|---------------|-------------|------|------|----------|-------|
| 831TM011   | 2.5           | 1.35        | 6.3  | 0.4  | solid    | solid |
| 831TM021   | 2.0           | 1.20        | 6.3  | 0.4  | solid    | solid |
| 831TM031   | 2.5           | 1.00        | 6.3  | 0.4  | solid    | solid |
| 341SR01TM1 | 1.0           | 1.10        | 6.3  | 0.4  | solid    | solid |
| 341FN01TM1 | 3.818         | 3.40        | 6.3  | 0.4  | solid    | solid |
| 831TM041   | 4.0           | 2.00        | 6.3  | 0.4  | solid    | solid |
| 441FN02TM1 | 3.818         | 2.70        | 6.3  | 0.4  | solid    | solid |
| 441KL01TM1 | 3/1.5/1.5     | 2.4/1.2/1.2 | 6.3  | 0.4  | solid    | solid |
| 441FN03TM1 | 3.818         | 2.70        | 6.3  | 0.4  | solid    | solid |
| 831TM042   | 3.0           | 1.50        | 6.3  | 0.4  | solid    | solid |
| 831TM043   | 2.5           | 1.05        | 6.3  | 0.4  | solid    | solid |
| 831TM044   | 1.6           | 0.75        | 6.3  | 0.4  | solid    | solid |
| 831TM041A  | 1.6           | 0.70        | 6.3  | 0.4  | solid    | solid |

|            |       |               |     |     |       |       |
|------------|-------|---------------|-----|-----|-------|-------|
| 831TM051   | 4.0   | 2.30          | 6.3 | 0.4 | solid | solid |
| 831TM052   | 6/3/3 | 6.7/3.35/3.35 | 6.3 | 0.4 | solid | solid |
| 441FN17TM1 | 1.8   | 1.775         | 6.3 | 0.4 | solid | solid |
| 441FN18TM1 | 1.0   | 0.85          | 6.3 | 0.4 | solid | solid |
| 831TM061   | 2.5   | 2.475         | 6.3 | 0.4 | solid | solid |
| 541SR01TM1 | 0.5   | 0.575         | 6.3 | 0.4 | solid | solid |
| 541FN05TM1 | 3.818 | 3.45          | 6.3 | 0.4 | solid | solid |
| 831TM062   | 3.0   | 1.65          | 6.3 | 0.4 | solid | solid |
| 542SR01TM1 | 0.6   | 0.57          | 6.3 | 0.4 | solid | solid |
| 542FN05TM1 | 3.818 | 3.40          | 6.3 | 0.4 | solid | solid |
| 831TM071   | 2.5   | 0.45          | 6.3 | 0.4 | solid | solid |
| 831TM081   | 1.6   | 0.65          | 6.3 | 0.4 | solid | solid |
| 831TM082   | 1.6   | 0.65          | 6.3 | 0.4 | solid | solid |
| 831TM091   | 2.0   | 0.80          | 6.3 | 0.4 | solid | solid |

## 5.2. Short Circuit Analysis

Pada studi hubung singkat ini dihitung besarnya arus hubung singkat pada setiap bus dan besarnya kontribusi arus dari setiap feeder yang terhubung pada bus yang mengalami hubung singkat. Perhitungan arus hubung singkat ini mempunyai dua tujuan:

1. Untuk mengetahui kemampuan peralatan dalam menahan arus hubung singkat sub-transient yang mungkin bisa terjadi pada sistem. Peralatan yang ditentukan kemampuannya dalam menahan arus hubung singkat meliputi busbar pada switchgear atau MCC dan circuit breaker untuk tegangan menengah.
2. Untuk mengetahui level hubung singkat maksimum transient pada setiap bus dan digunakan untuk referensi koordinasi setting rele pengaman.

### 5.2.1. Konfigurasi

Pada perhitungan arus hubung singkat pada sistem kelistrikan Pabrik Semen Aceh ini terdapat 3 (tiga) kasus konfigurasi yang disimulasikan, yaitu :

#### a. SC Case-1 : Hubung Singkat Duty maksimum.

Digunakan untuk mengevaluasi dan menghitung rating peralatan pada saat terjadi hubung singkat. Pada kasus ini system disuply PLN (4275 MVA short circuit). Nilai hasil perhitungan akan digunakan untuk menentukan rating peralatan yang digunakan.

Pada perhitungan ini, sebagai langkah awal, nilai rating peralatan akan diasumsikan dahulu kemudian dibandingkan dan dievaluasi dengan hasil perhitungan. Parameter yang akan dibandingkan adalah :

**Tabel 5.4.** Perbandingan parameter hubung singkat

| Device Type                         | Device Capability        | Calculated Short-Circuit Duty |
|-------------------------------------|--------------------------|-------------------------------|
| <u>Momentary Duty</u>               |                          |                               |
| HV Bus Bracing                      | Asymm. KA rms            | Asymm. KA rms                 |
|                                     | Asymm. KA Crest          | Asymm. KA Crest               |
| LV Bus Bracing                      | Symm. KA rms             | Symm. KA rms                  |
|                                     | Asymm. KA rms            | Asymm. KA rms                 |
| HV CB<br>C&L Capability kA<br>Crest | C&L Capability kA<br>rms | Asymm. KA rms                 |
|                                     | Asymm. KA Crest          |                               |
| <u>Momentary Duty</u>               |                          |                               |
| HV CB                               | Interrupting kA***       | Adjusted kA                   |
| LV CB                               | Rated Interrupting kA    | Adjusted kA                   |

Konfigurasi yang digunakan adalah (lihat Lampiran 3) :

- Semua Tie Breaker OPEN
- Sumber : PLN

Perhitungan yang digunakan adalah Hubung Singkat pada Duty Cycle.

#### b. SC Case-2 : Hubung singkat maksimum 4 cycle (3 phasa)

Digunakan untuk studi koordinasi proteksi. Konfigurasi yang digunakan adalah (lihat Lampiran 3) :

- Semua Tie Breaker OPEN
- Sumber : PLN

Perhitungan yang digunakan adalah Hubung Singkat pada  $1\frac{1}{2}$  - 4 Cycle.

c. SC Case-3 : Hubung singkat maksimum dan minimum 30 cycle (3 phasa)

Digunakan untuk studi koordinasi proteksi. Konfigurasi yang digunakan adalah (lihat Lampiran 3) :

- Semua Tie Breaker OPEN
- Sumber : PLN

Perhitungan yang digunakan adalah Hubung Singkat pada 30 Cycle.

**Tabel 5.5.** Asymmetrical Currents Tabulated Values

| % Asymmetry | Peak value | RMS value | Peak value to rms value |
|-------------|------------|-----------|-------------------------|
| 100         | 2.83       | 1.73      | 1.63                    |
| 90          | 2.69       | 1.62      | 1.66                    |
| 80          | 2.55       | 1.51      | 1.69                    |
| 70          | 2.40       | 1.41      | 1.71                    |
| 60          | 2.26       | 1.31      | 1.73                    |
| 50          | 2.12       | 1.23      | 1.73                    |
| 40          | 1.98       | 1.15      | 1.72                    |
| 30          | 1.84       | 1.09      | 1.69                    |
| 24          | 1.75       | 1.06      | 1.66                    |
| 20          | 1.70       | 1.04      | 1.63                    |
| 10          | 1.56       | 1.01      | 1.54                    |
| 0           | 1.41       | 1.00      | 1.41                    |

#### 5.2.1. Hasil Studi

Hasil perhitungan *Short Circuit* pada setiap kasus dapat dilihat pada Lampiran 3. Dari hasil perhitungan *Short Circuit Duty* dapat ditentukan kapasitas dari peralatan agar tidak mengalami *Overduty*, sehingga peralatan masih dapat bekerja dengan baik pada saat terjadi hubung singkat.

Secara lengkap hasilnya dapat dilihat pada tabel 6.6 dan 6.7. Sedangkan hasil perhitungan hubung singkat pada setiap bus dengan kondisi pembangkitan sesuai dengan Case 2 dan 3 dapat dilihat pada tabel 6.8. Selanjutnya hasil ini digunakan untuk analisa koordinasi relay arus lebih.

**Tabel 5.6.** Hasil perhitungan Momentary Duty Case-1

| Bus     |     | Device       |            | Momentary Duty |                |
|---------|-----|--------------|------------|----------------|----------------|
| ID      | kV  | ID           | Type       | Asymm kA rms   | Asymm kA crest |
| BUS PLN | 150 | MAIN BUS PLN | Switchgear | 31,005         | 46.296         |

|          |     |          |            |        |        |
|----------|-----|----------|------------|--------|--------|
| 821MV011 | 6.3 | 821MV011 | Switchgear | 44,631 | 75,376 |
| 821MV021 | 6.3 | 821MV021 | Switchgear | 40,407 | 68,075 |
| 821MV031 | 6.3 | 821MV031 | Switchgear | 48,348 | 81,319 |
| 831MV011 | 6.3 | 831MV011 | Switchgear | 13,672 | 20,541 |
| 831MV021 | 6.3 | 831MV021 | Switchgear | 20,594 | 34,862 |
| 831MV031 | 6.3 | 831MV031 | Switchgear | 6,731  | 9,630  |
| 831MV041 | 6.3 | 831MV041 | Switchgear | 26,557 | 45,287 |
| 831MV051 | 6.3 | 831MV042 | Switchgear | 22,866 | 39,595 |
| 831MV052 | 6.3 | 831MV051 | Switchgear | 18,297 | 31,686 |
| 831MV061 | 6.3 | 831MV052 | Switchgear | 5,197  | 7,411  |
| 831MV071 | 6.3 | 831MV071 | Switchgear | 15,892 | 27,259 |
| 831MV081 | 6.3 | 831MV081 | Switchgear | 34,082 | 58,491 |
| 831MV082 | 6.3 | 831MV081 | Switchgear | 34,528 | 59,267 |
| 831MV091 | 6.3 | 831MV052 | Switchgear | 5,489  | 7,801  |
| 831MV101 | 6.3 | 831MV071 | Switchgear | 15,449 | 23,088 |
| 831MV111 | 6.3 | 831MV081 | Switchgear | 13,672 | 20,541 |
| 831MV121 | 6.3 | 831MV081 | Switchgear | 20,594 | 34,862 |
| 831MV131 | 6.3 | 831MV081 | Switchgear | 7,940  | 11,446 |

**Tabel 5.7.** Hasil Perhitungan Hubung Singkat Interupting Duty Case-1

| Bus      |     | Device       |            | Interrupting Duty |                     |
|----------|-----|--------------|------------|-------------------|---------------------|
| ID       | kV  | ID           | Type       | Sym.<br>(kA)      | Recommended<br>(kA) |
| Bus PLN  | 150 | 811HV-CB1    | 5 cySym CB | 12,478            | 16                  |
|          |     |              |            |                   |                     |
| 821MV011 | 6,3 |              |            |                   |                     |
|          | 6,3 | 821MV011-CB1 | 5 cySym CB | 27,325            | 31.5                |
|          | 6,3 | 821MV011-CB2 | 5 cySym CB | 27,325            | 31.5                |
|          | 6,3 | 821MV011-CB3 | 5 cySym CB | 27,325            | 31.5                |
|          | 6,3 | 821MV011-CB4 | 5 cySym CB | 27,325            | 31.5                |
|          | 6,3 | 821MV011-CB6 | 5 cySym CB | 27,325            | 31.5                |
|          | 6,3 | 821MV011-CB6 | 5 cySym CB | 27,325            | 31.5                |
|          | 6,3 | 821MV011-CB7 | 5 cySym CB | 27,325            | 31.5                |
|          | 6,3 | 821MV011-CB8 | 5 cySym CB | 27,325            | 31.5                |
|          |     |              |            |                   |                     |
| 821MV021 | 6,3 |              |            |                   |                     |
|          | 6,3 | 821MV021-CB1 | 5 cySym CB | 23,700            | 25                  |
|          | 6,3 | 821MV021-CB3 | 5 cySym CB | 23,700            | 25                  |

|          |     |              |            |        |      |
|----------|-----|--------------|------------|--------|------|
|          | 6,3 | 821MV021-CB4 | 5 cySym CB | 23,700 | 25   |
|          | 6,3 | 821MV021-CB5 | 5 cySym CB | 23,700 | 25   |
|          | 6,3 | 821MV021-CB6 | 5 cySym CB | 23,700 | 25   |
|          | 6,3 | 821MV021-CB7 | 5 cySym CB | 23,700 | 25   |
|          | 6,3 | 821MV021-CB9 | 5 cySym CB | 23,700 | 25   |
|          |     |              |            |        |      |
| 821MV031 | 6,3 |              |            |        |      |
|          | 6,3 | 821MV031-CB1 | 5 cySym CB | 27,949 | 31.5 |
|          | 6,3 | 821MV031-CB2 | 5 cySym CB | 27,949 | 31.5 |
|          | 6,3 | 821MV031-CB3 | 5 cySym CB | 27,949 | 31.5 |
|          | 6,3 | 821MV031-CB4 | 5 cySym CB | 27,949 | 31.5 |
|          | 6,3 | 821MV031-CB5 | 5 cySym CB | 27,949 | 31.5 |
|          | 6,3 | 821MV031-CB6 | 5 cySym CB | 27,949 | 31.5 |
|          | 6,3 | 821MV031-CB7 | 5 cySym CB | 27,949 | 31.5 |
|          | 6,3 | 821MV031-CB8 | 5 cySym CB | 27,949 | 31.5 |
|          |     |              |            |        |      |
| 831MV011 | 6,3 |              |            |        |      |
|          | 6,3 | 831MV011-CB1 | 5 cySym CB | 15.431 | 16   |
|          | 6,3 | 831MV011-CB2 | 5 cySym CB | 15.431 | 16   |
|          | 6,3 | 831MV011-CB3 | 5 cySym CB | 15.431 | 16   |
|          | 6,3 | 831MV011-CB4 | 5 cySym CB | 15.431 | 16   |
|          |     |              |            |        |      |
| 831MV021 | 6,3 |              |            |        |      |
|          | 6,3 | 831MV021-CB1 | 5 cySym CB | 17.827 | 25   |
|          | 6,3 | 831MV021-CB2 | 5 cySym CB | 17.827 | 25   |
|          | 6,3 | 831MV021-CB3 | 5 cySym CB | 17.827 | 25   |
|          |     |              |            |        |      |
| 831MV031 | 6,3 |              |            |        |      |
|          | 6,3 | 831MV031-CB1 | 5 cySym CB | 25.754 | 31.5 |
|          | 6,3 | 831MV031-CB2 | 5 cySym CB | 25.754 | 31.5 |
|          | 6,3 | 831MV031-CB3 | 5 cySym CB | 25.754 | 31.5 |
|          | 6,3 | 831MV031-CB4 | 5 cySym CB | 25.754 | 31.5 |
|          | 6,3 | 831MV031-CB5 | 5 cySym CB | 25.754 | 31.5 |
|          | 6,3 | 831MV031-CB6 | 5 cySym CB | 25.754 | 31.5 |
|          | 6,3 | 831MV031-CB7 | 5 cySym CB | 25.754 | 31.5 |
|          |     |              |            |        |      |
| 831MV041 | 6,3 |              |            |        |      |
|          | 6,3 | 831MV041-CB1 | 5 cySym CB | 15,383 | 16   |
|          | 6,3 | 831MV041-CB2 | 5 cySym CB | 15,383 | 16   |
|          | 6,3 | 831MV041-CB3 | 5 cySym CB | 15,383 | 16   |
|          | 6,3 | 831MV041-CB4 | 5 cySym CB | 15,383 | 16   |
|          | 6,3 | 831MV041-CB5 | 5 cySym CB | 15,383 | 16   |
|          | 6,3 | 831MV041-CB6 | 5 cySym CB | 21.661 | 16   |

|          |     |               |            |        |      |
|----------|-----|---------------|------------|--------|------|
|          | 6,3 | 831MV041-CB7  | 5 cySym CB | 21.661 | 16   |
|          | 6,3 | 831MV041-CB8  | 5 cySym CB | 21.661 | 16   |
|          |     |               |            |        |      |
| 831MV051 | 6,3 |               |            |        |      |
|          | 6,3 | 831MV051-CB1  | 5 cySym CB | 19.422 | 25   |
|          | 6,3 | 831MV051-CB2  | 5 cySym CB | 19.422 | 25   |
|          | 6,3 | 831MV051-CB3  | 5 cySym CB | 19.422 | 25   |
|          | 6,3 | 831MV051-CB4  | 5 cySym CB | 19.422 | 25   |
|          | 6,3 | 831MV051-CB5  | 5 cySym CB | 19.422 | 25   |
|          | 6,3 | 831MV051-CB6  | 5 cySym CB | 19.422 | 25   |
|          | 6,3 | 831MV051-CB7  | 5 cySym CB | 19.422 | 25   |
|          | 6,3 | 831MV051-CB8  | 5 cySym CB | 19.422 | 25   |
|          | 6,3 | 831MV051-CB9  | 5 cySym CB | 19.422 | 25   |
|          | 6,3 | 831MV051-CB10 | 5 cySym CB | 19.422 | 25   |
|          | 6,3 | 831MV051-CB11 | 5 cySym CB | 19.422 | 25   |
|          | 6,3 | 831MV051-CB12 | 5 cySym CB | 19.422 | 25   |
|          | 6,3 | 831MV051-CB13 | 5 cySym CB | 19.422 | 25   |
|          |     |               |            |        |      |
| 831MV052 | 6,3 |               |            |        |      |
|          | 6,3 | 831MV052-CB1  | 5 cySym CB | 13,594 | 16   |
|          | 6,3 | 831MV052-CB2  | 5 cySym CB | 13,594 | 16   |
|          | 6,3 | 831MV052-CB3  | 5 cySym CB | 13,594 | 16   |
|          | 6,3 | 831MV052-CB4  | 5 cySym CB | 13,594 | 16   |
|          | 6,3 | 831MV052-CB5  | 5 cySym CB | 13,594 | 16   |
|          | 6,3 | 831MV052-CB6  | 5 cySym CB | 13,594 | 16   |
|          | 6,3 | 831MV052-CB7  | 5 cySym CB | 13,594 | 16   |
|          | 6,3 | 831MV052-CB8  | 5 cySym CB | 13,594 | 16   |
|          | 6,3 | 831MV052-CB9  | 5 cySym CB | 13,594 | 16   |
|          | 6,3 | 831MV052-CB9  | 5 cySym CB | 13,594 | 16   |
|          |     |               |            |        |      |
| 831MV061 | 6,3 |               |            |        |      |
|          | 6,3 | 831MV071-CB1  | 5 cySym CB | 4,928  | 12,5 |
|          | 6,3 | 831MV071-CB2  | 5 cySym CB | 4,928  | 12,5 |
|          | 6,3 | 831MV071-CB3  | 5 cySym CB | 4,928  | 12,5 |
|          |     |               |            |        |      |
| 831MV071 | 6,3 |               |            |        |      |
|          | 6,3 | 831MV081-CB1  | 5 cySym CB | 13,037 | 16   |
|          | 6,3 | 831MV081-CB2  | 5 cySym CB | 13,037 | 16   |
|          | 6,3 | 831MV081-CB3  | 5 cySym CB | 13,037 | 16   |
|          | 6,3 | 831MV081-CB4  | 5 cySym CB | 13,037 | 16   |
|          | 6,3 | 831MV081-CB5  | 5 cySym CB | 13,037 | 16   |
|          | 6,3 | 831MV081-CB6  | 5 cySym CB | 13,037 | 16   |
|          | 6,3 | 831MV081-CB7  | 5 cySym CB | 13,037 | 16   |

|          |     |               |            |        |      |
|----------|-----|---------------|------------|--------|------|
|          |     |               |            |        |      |
| 831MV081 | 6,3 |               |            |        |      |
|          | 6,3 | 831MV082-CB1  | 5 cySym CB | 21,992 | 25   |
|          | 6,3 | 831MV082-CB2  | 5 cySym CB | 21,992 | 25   |
|          | 6,3 | 831MV082-CB3  | 5 cySym CB | 21,992 | 25   |
|          | 6,3 | 831MV082-CB4  | 5 cySym CB | 21,992 | 25   |
|          | 6,3 | 831MV082-CB5  | 5 cySym CB | 21,992 | 25   |
|          | 6,3 | 831MV082-CB6  | 5 cySym CB | 21,992 | 25   |
|          | 6,3 | 831MV082-CB7  | 5 cySym CB | 21,992 | 25   |
|          | 6,3 | 831MV082-CB8  | 5 cySym CB | 21,992 | 25   |
|          | 6,3 | 831MV082-CB9  | 5 cySym CB | 21,992 | 25   |
|          | 6,3 | 831MV082-CB10 | 5 cySym CB | 21,992 | 25   |
|          |     |               |            |        |      |
| 831MV082 | 6,3 |               |            |        |      |
|          | 6,3 | 831MV082-CB1  | 5 cySym CB | 22,169 | 25   |
|          | 6,3 | 831MV082-CB2  | 5 cySym CB | 22,169 | 25   |
|          | 6,3 | 831MV082-CB3  | 5 cySym CB | 22,169 | 25   |
|          | 6,3 | 831MV082-CB4  | 5 cySym CB | 22,169 | 25   |
|          | 6,3 | 831MV082-CB5  | 5 cySym CB | 22,169 | 25   |
|          | 6,3 | 831MV082-CB6  | 5 cySym CB | 22,169 | 25   |
|          | 6,3 | 831MV082-CB7  | 5 cySym CB | 22,169 | 25   |
|          | 6,3 | 831MV082-CB8  | 5 cySym CB | 22,169 | 25   |
|          | 6,3 | 831MV082-CB9  | 5 cySym CB | 22,169 | 25   |
|          | 6,3 | 831MV082-CB10 | 5 cySym CB | 22,169 | 25   |
|          | 6,3 | 831MV082-CB11 | 5 cySym CB | 22,169 | 25   |
|          |     |               |            |        |      |
| 831MV091 | 6,3 |               |            |        |      |
|          | 6,3 | 831MV091-CB1  | 5 cySym CB | 5,193  | 12,5 |
|          | 6,3 | 831MV091-CB2  | 5 cySym CB | 5,193  | 12,5 |
|          | 6,3 | 831MV091-CB3  | 5 cySym CB | 5,193  | 12,5 |
|          |     |               |            |        |      |
| 831MV010 | 6,3 |               |            |        |      |
|          | 6,3 | 831MV010-CB1  | 5 cySym CB | 14,501 | 16   |
|          | 6,3 | 831MV010-CB2  | 5 cySym CB | 14,501 | 16   |
|          | 6,3 | 831MV010-CB3  | 5 cySym CB | 14,501 | 16   |
|          |     |               |            |        |      |
| 831MV011 | 6,3 |               |            |        |      |
|          | 6,3 | 831MV011-CB1  | 5 cySym CB | 12,889 | 16   |
|          | 6,3 | 831MV011-CB2  | 5 cySym CB | 12,889 | 16   |
|          | 6,3 | 831MV011-CB3  | 5 cySym CB | 12,889 | 16   |
|          |     |               |            |        |      |
| 831MV012 | 6,3 |               |            |        |      |
|          | 6,3 | 831MV012-CB1  | 5 cySym CB | 17,341 | 25   |

|          |     |              |            |        |      |
|----------|-----|--------------|------------|--------|------|
|          | 6,3 | 831MV012-CB2 | 5 cySym CB | 17,341 | 25   |
|          | 6,3 | 831MV012-CB3 | 5 cySym CB | 17,341 | 25   |
|          | 6,3 | 831MV012-CB4 | 5 cySym CB | 17,341 | 25   |
|          |     |              |            |        |      |
| 831MV013 | 6,3 |              |            |        |      |
|          | 6,3 | 831MV013-CB1 | 5 cySym CB | 7,618  | 12,5 |
|          | 6,3 | 831MV013CB2  | 5 cySym CB | 7,618  | 12,5 |
|          | 6,3 | 831MV013-CB3 | 5 cySym CB | 7,618  | 12,5 |
|          |     |              |            |        |      |

**Tabel 5.8.** Hasil perhitungan Hubung singkat pada tiap Bus Case 2, dan 3

| ID       | kV  | Arus max<br>(3 Phasa fault, kA) |          | Arus min<br>(Line to Line<br>Fault, kA) |
|----------|-----|---------------------------------|----------|---|
|          |     | 4 cycle                         | 30 cycle |   |
| BUS PLN  | 150 | 12.478                          | 18.187   | 20.866                                  |
| 821MV011 | 6.3 | 27.325                          | 29.814   | 10.306                                  |
| 821MV021 | 6.3 | 23.700                          | 26.675   | 17.989                                  |
| 821MV031 | 6.3 | 27.949                          | 31.669   | 17.065                                  |
| 831MV011 | 6.3 | 10.226                          | 11.176   | 7.148                                   |
| 831MV021 | 6.3 | 7.213                           | 7.554    | 5.707                                   |
| 831MV031 | 6.3 | 6.482                           | 6.731    | 5.707                                   |
| 831MV041 | 6.3 | 15.383                          | 18.662   | 4.202                                   |
| 831MV051 | 6.3 | 17.154                          | 18.979   | 4.782                                   |
| 831MV052 | 6.3 | 13.594                          | 15.145   | 2.348                                   |
| 831MV061 | 6.3 | 4.928                           | 5.197    | 2.999                                   |
| 831MV071 | 6.3 | 13.037                          | 14.125   | 3.274                                   |
| 831MV081 | 6.3 | 21.992                          | 24.914   | 2.612                                   |
| 831MV082 | 6.3 | 22.169                          | 25.270   | 14.329                                  |
| 831MV091 | 6.3 | 5.193                           | 5.489    | 4.090                                   |
| 831MV101 | 6.3 | 14.501                          | 15.392   | 10.906                                  |
| 831MV111 | 6.3 | 12.889                          | 13.611   | 10.193                                  |
| 831MV131 | 6.3 | 17.341                          | 18.951   | 13.035                                  |
| 831LV011 | 0.4 | 24.946                          | 31.061   | 35.892                                  |
| 831LV021 | 0.4 | 28.763                          | 37.380   | 30.210                                  |
| 831LV031 | 0.4 | 23.853                          | 28.157   | 28.794                                  |
| 831LV041 | 0.4 | 33.125                          | 41.595   | 43.772                                  |
| 831LV051 | 0.4 | 31.848                          | 40.763   | 32.195                                  |
| 831LV052 | 0.4 | 33.178                          | 38.719   | 28.870                                  |
| 831LV053 | 0.4 | 30.518                          | 36.015   | 20.062                                  |
| 831LV054 | 0.4 | 30.645                          | 36.546   | 25.161                                  |
| 831LV051 | 0.4 | 67.393                          | 33.131   | 45.565                                  |

|          |     |        |        |        |
|----------|-----|--------|--------|--------|
| 831LV061 | 0.4 | 28.354 | 42.238 | 32.418 |
| 831LV071 | 0.4 | 33.682 | 46.640 | 17.244 |
| 831LV081 | 0.4 | 35.767 | 41.595 | 22.892 |
| 831LV082 | 0.4 | 35.362 | 40.763 | 22.892 |
| 831LV091 | 0.4 | 32.706 | 45.430 | 18.559 |
| 831LV101 | 0.4 | 32.480 | 42.661 | 18.559 |
| 831LV111 | 0.4 | 31.015 | 40.565 | 18.559 |
| 831LV121 | 0.4 | 25.531 | 37.736 | 18.559 |
| 831LV122 | 0.4 | 32.398 | 31.372 | 18.559 |

Untuk mengetahui lebih detail tentang data yang digunakan dalam 3 (tiga) Case simulasi tersebut diatas dapat dilihat pada Lampiran 3.

### 5.3. Motor Starting Analysis

Studi ini dilakukan untuk mengetahui tingkat keamanan operasi system tenaga listrik pada saat terjadi motor besar *start* dan *trip*.

#### 5.3.1. Lingkup Studi

1. Satu motor besar start dan mengamati pengaruhnya terhadap keamanan atau kestabilan arus dan tegangan sistem.
2. Satu motor besar trip yang diikuti tripnya satu atau lebih motor-motor besar lainnya dan mengamati pengaruhnya terhadap keamanan atau kestabilan arus dan tegangan sistem.
3. Posisi TAP trafo 811TX01-02-03 nominal (posisi 0)
4. OLTC dalam kondisi OFF

#### 5.3.2. Asumsi Studi

1. Untuk memberi gambaran kondisi terburuk, simulasi dilakukan pada kondisi beban puncak.
2. Tingkat keamanan operasi akan merujuk ke IEEE Standard C37.102-1995 atau ANSI C50.13-1989 untuk kemampuan short time thermal generator dan standar SPLN untuk frekuensi.
3. Untuk data-data peralatan yang tidak di temukan dilapangan akan digunakan data tipikal yang mendekati.

- Simulasi start motor dengan starter dilakukan dengan mengacu pada tipe starter yang digunakan di lapangan. Pendekatan dilakukan dengan mengambil kondisi terburuk sebagai contoh.

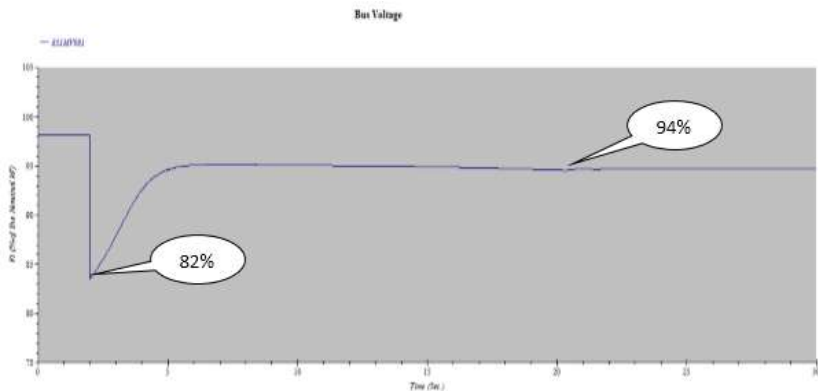
### 5.3.3. Tipe Studi Kasus

- Satu motor start yakni motor :
  - Finish Mill : Motor 541 RM01M01 (5600 kW)
  - Raw Mill : Motor 341 FN02MO1 (7100 kW)
- Beban/Motor trip :
  - ER-4
  - Raw Mill : Motor 341 FN02MO1 (7100 kW)
  - Finish Mill : Motor 541 RM01MO1 (5600 kW)

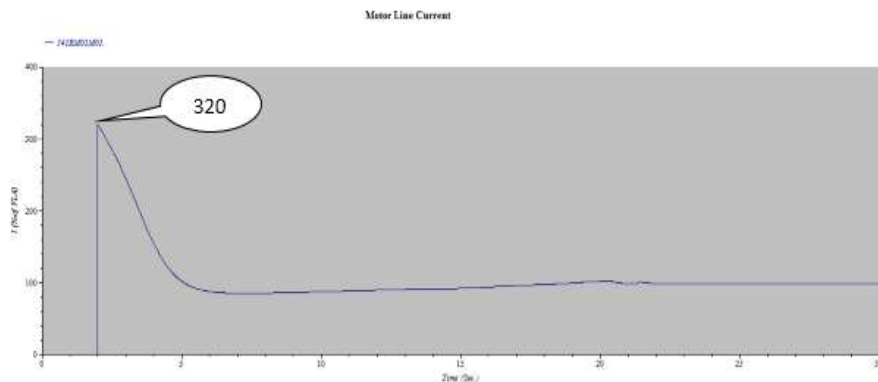
### 5.3.4. Hasil Studi Kasus

- Satu motor start : Motor 541 RM01MO1 (5600 kW)*

Motor 541 RM01MO1 di Finish Mill dipilih dengan pertimbangan beban motor cukup besar yaitu 5600 kW. Untuk mensimulasikan kondisi terburuk, diasumsikan semua beban ON (terhubung ke sistem). Simulasi starting motor dengan starter didekati dengan mensetting waktu starter selama 20 detik. Hal ini dilakukan untuk mendekati kondisi sesungguhnya starter di lapangan. Setelah 20 detik, motor beroperasi normal tanpa starter.



**Gambar 5.2** Respon Tegangan Bus ER 08-831MV081



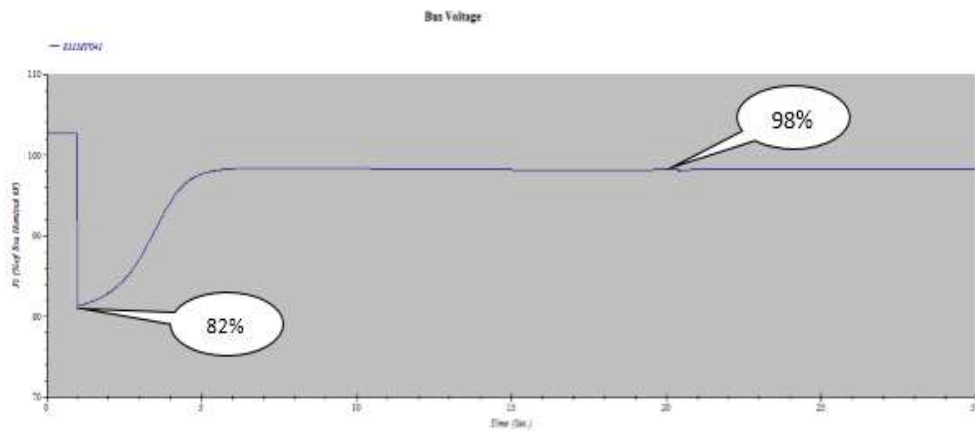
**Gambar 5.3** Respon Arus Motor saat motor 541RM01M01 (5600 kW) start

Ringkasan Hasil Starting Motor 541 RM01M01 5600 kW:

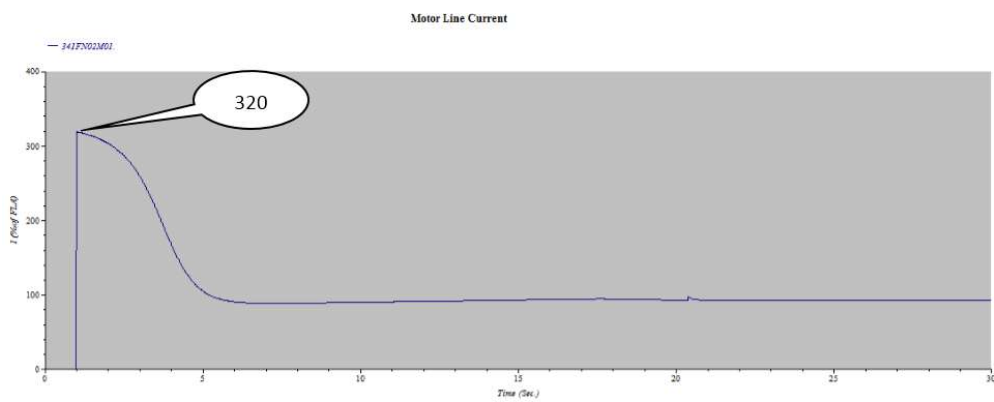
| <b>Analisis Starting motor 541 RM01M01 (5600 kW)</b>                 |  |
|--|--|
| <b>Tujuan : Mengetahui kondisi tegangan/arus saat starting motor</b> |  |
| <b>KONDISI OPERASI</b>   | <b>Beban beroperasi semua</b>  |
| <b>STARTING MOTOR</b>  | <b>Starting Motor 541 RM01M01 5600 kW</b><br>start pada detik ke 1, detik ke19 starter off |
| <b>ANALISIS KESTABILAN</b>   | Nilai tegangan minimum = 82 %<br>Nilai arus starting maksimum = 320 % arus full load       |
| <b>STATUS KESTABILAN</b>   | <b>STABIL</b>  |

## 2. Satu motor start : Motor 341 FN01M01 (7100 kW)

Motor 341 FN01M01 dipilih dengan pertimbangan beban motor cukup besar yaitu 7100 kW. Untuk mensimulasikan kondisi terburuk, diasumsikan semua beban ON (terhubung ke sistem). Simulasi starting motor dengan starter didekati dengan mensetting waktu starter selama 20 detik. Hal ini dilakukan untuk mendekati kondisi riil starter di lapangan. Setelah 20 detik, motor beroperasi normal tanpa starter.



**Gambar 5.4** Respon Tegangan Bus ER 04-831-MV041



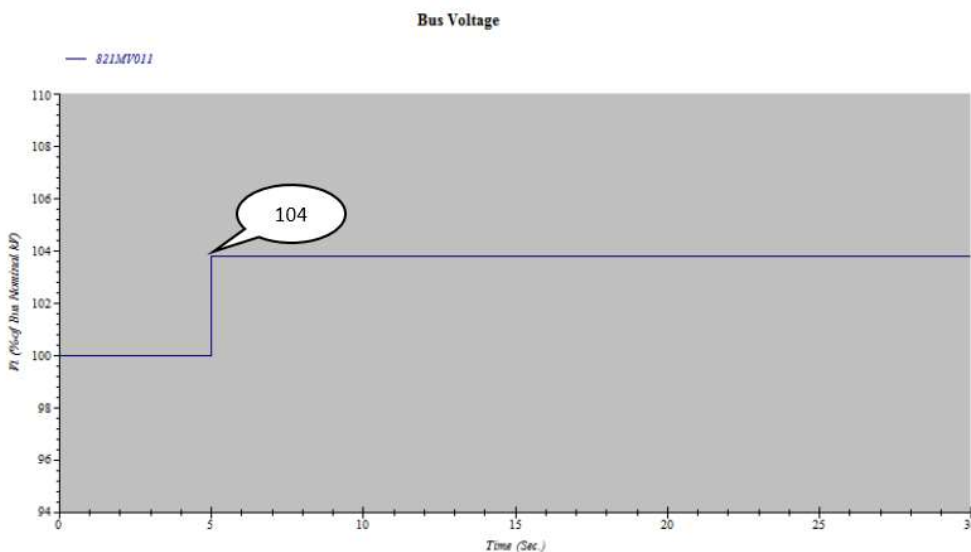
**Gambar 5.5** Respon Arus Motor saat motor 341 FN02M01 start

Ringkasan Hasil Starting Motor 341FN02MO1 (7100 kW) :

| Analisis Starting motor 341FN02M01 (7100 kW)                         |  |
|--|--|
| <b>Tujuan : Mengetahui kondisi tegangan/arus saat starting motor</b> |  |
| <b>KONDISI OPERASI</b>   | <b>Beban beroperasi semua</b>  |
| <b>MOTOR TRIP</b>  | <b>Starting motor 341 FN02M01 7100 kW</b><br>start pada detik ke 1, detik ke19 starter off |
| <b>ANALISIS KESTABILAN</b>   | Nilai drop tegangan maksimum = 82%<br>Nilai arus starting maksimum = 320% arus full load   |
| <b>STATUS KESTABILAN</b>   | <b>STABIL</b>  |

### 3. ER-4 Trip

ER-4 dipilih karena total bebananya di Pabrik Semen Aceh. Untuk mensimulasikan kondisi terburuk, diasumsikan semua beban ON (terhubung ke sistem). Simulasi beban trip didekati dengan batas tegangan lebih 105%.



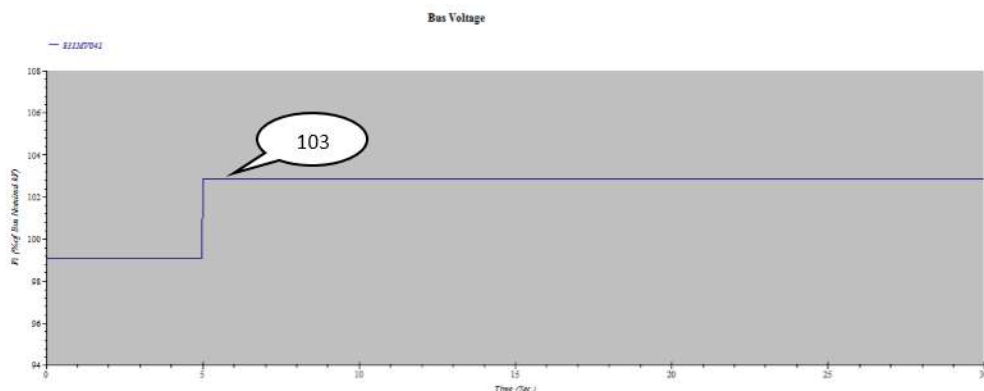
**Gambar 5.6** Respon Tegangan Bus 821MV011

Ringkasan Hasil untuk ER-4 (beban) Trip:

| Analisis ER-4 (beban) Trip                           |  |
|--|--|
| Tujuan : Mengetahui kondisi tegangan saat beban trip |  |
| KONDISI OPERASI                                      | Beban beroperasi semua                   |
| BEBAN TRIP   | <b>ER-4 Trip</b><br>Trip pada detik ke 5 |
| ANALISIS KESTABILAN                                  | Nilai tegangan naik menjadi 100-104%     |
| SARAN  | Menstabilkan tegangan melalui OLTC       |

#### 4. Motor 341 FN02MO1 (7100 kW) trip

Motor 341 FN02MO1 dipilih dengan pertimbangan beban motor cukup besar yaitu 7100 kW. Untuk mensimulasikan kondisi terburuk, diasumsikan semua beban on. Simulasi motor trip didekati dengan batas tegangan lebih 105 %. Dalam simulasi akan dilihat kondisi tegangan ketika dan setelah motor trip.



**Gambar 5.7** Respon Tegangan Bus ER 4-831MV041 saat motor 341 FN02MO1 (7100 kW) trip

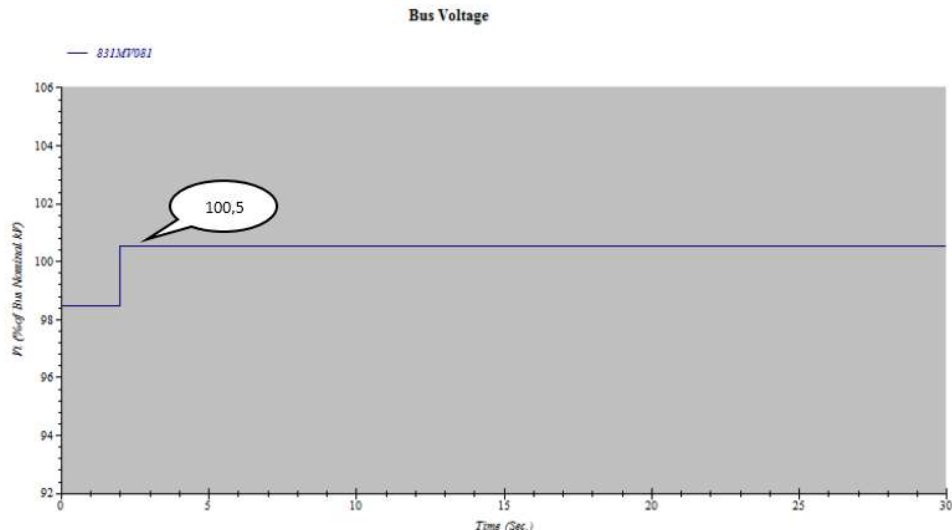
Ringkasan Hasil untuk Motor 341 FN02MO1 (7100 kW) Trip

| Analisis Motor Trip   |  |
|---|--|
| <b>Tujuan : Mengetahui kondisi tegangan saat motor 341 FN02MO1 (7100 kW) Trip</b> |  |
| KONDISI OPERASI   | Beban beroperasi semua                                       |
| MOTOR TRIP  | <b>Motor 341 FN02MO1 (6360) Trip</b><br>Trip pada detik ke 1 |
| ANALISIS KESTABILAN   | saat motor trip tegangan naik menjadi 103 %                  |
| SARAN   | Menstabilkan tegangan melalui OLTC                           |

#### 5. Motor 541 RM01MO1 (5600 kW) trip

Motor 541 RM01MO1 dipilih dengan pertimbangan beban motor cukup besar yaitu 5600 kW. Untuk mensimulasikan kondisi terburuk, diasumsikan semua beban on. Simulasi motor trip didekati dengan

batas tegangan lebih 105 %. Dalam simulasi akan dilihat kondisi tegangan ketika dan setelah motor trip.



**Gambar 5.8** Respon Tegangan Bus ER 6-831-MV061

Ringkasan Hasil untuk Motor 541RM01MO1 (5500 kW) Trip:

| <b>Analisis Motor 541RM01MO1(5600 kW) Trip</b>                 |  |
|--|--|
| <b>Tujuan : Mengetahui kondisi tegangan setelah motor trip</b> |  |
| <b>KONDISI OPERASI</b>   | Beban beroperasi semua                                     |
| <b>MOTOR TRIP</b>  | <b>Motor 541RM01MO1 (5600kW) Trip</b><br>Trip pada detik 2 |
| <b>ANALISIS KESTABILAN</b>                                     | Nilai tegangan naik menjadi 100,5%                         |
| <b>SARAN</b>   | -  |

#### 5.4. Harmonic Study

Harmonic Study pada sistem kelistrikan PT. Semen Indonesia Pabrik Aceh dilakukan dengan membuat model untuk simulasi harmonisa berdasarkan data sumber harmonisa dari peralatan yang akan digunakan dengan menggunakan Software ETAP untuk simulasi harmonic.

#### **5.4.1. Pemodelan Sistem Kelistrikan PT. Semen Indonesia Pabrik Aceh**

Untuk tujuan analisis, dilakukan pemodelan sistem kelistrikan dengan menggunakan Software ETAP. Pemodelan dilakukan berdasarkan data sumber harmonis peralatan sistem kelistrikan PT. Semen Indonesia Pabrik Aceh untuk kondisi pembebatan maksimum.

Hasil pemodelan Sistem Kelistrikan PT. Semen Indonesia Pabrik Aceh ditunjukkan pada Lampiran 4, yang merupakan output dari program Harmonic Load Flow yaitu THD tegangan dan arus.

#### **5.4.2. Evaluasi Hasil Pemodelan**

Evaluasi hasil pemodelan harmonis dilakukan berdasarkan Standard IEEE sebagai berikut :

**Tabel 5.9** IEEE STD. 519-1992 IEEE-519 Voltage Distortion Limits

| Bus Voltage at PCC       | IHDv (%) | THDv(%) |
|--------------------------|----------|---------|
| 69 kV and below          | 3.0      | 5.0     |
| 69.001 kV through 161 kV | 1.5      | 2.5     |
| 161 kV and above         | 1.0      | 1.5     |

IHDv = Individual Harmonic voltage Distortion

THDv = Total Harmonic voltage Distortion

**Tabel 5.10** IEEE STD. 519-1992 IEEE-519 Maximum Odd-Harmonic Current Distortion (%) Limits for General Distribution Systems (120 Volts – 69,000Volts)

| <i>Isc/IL</i> | $n < 11$ | $11 \leq n < 17$ | $17 \leq n < 23$ | $23 \leq n < 35$ | $35 \leq n$ | TDD |
|---------------|----------|------------------|------------------|------------------|-------------|-----|
|               |          |                  |                  |                  |             |     |

|          |      |     |     |     |     |      |
|----------|------|-----|-----|-----|-----|------|
| <20      | 4.0  | 2.0 | 1.5 | 9.6 | 0.3 | 5.0  |
| 20<50    | 7.0  | 3.5 | 2.5 | 1.0 | 0.5 | 8.0  |
| 50<100   | 10.0 | 4.5 | 4.0 | 1.5 | 0.7 | 12.0 |
| 100<1000 | 12.0 | 5.5 | 5.0 | 2.0 | 1.0 | 15.0 |
| >1000    | 15.0 | 7.0 | 6.0 | 2.5 | 1.4 | 20.0 |

Hasil pemodelan harmonisasi sistem kelistrikan Pabrik Semen Aceh menunjukkan nilai %THDv pada bus-bus tertentu diatas standar yang diijinkan. Demikian juga untuk THDi seperti ditunjukkan pada Tabel 6.10.

#### 5.4.3. Simulasi Harmonic

##### 5.4.3.1. Simulasi Harmonic Sistem Kelistrikan Pabrik Semen Aceh

Dilakukan untuk memperkirakan nilai THD Tegangan dan THD Arus pada tiap-tiap bus. Model sistem kelistrikan Pabrik Semen Aceh dengan kondisi pembebanan maksimum digunakan pada simulasi ini. Hasil simulasi (bus-bus utama) ditunjukkan pada Tabel 5.11.

**Tabel 5.11** Hasil Simulasi Harmonic Sistem Kelistrikan Tanpa Kompensasi (filter harmonik)

| Nama Bus | % THD V     | Standar IEEE | % THD I | Standar IEEE |
|----------|-------------|--------------|---------|--------------|
|          |             | % THD V      |         | % TDD        |
| BUS PLN  | 0.46        | 2.5          | ---     | 12           |
| 821MV011 | 0.29        | 5            | 0.74    | 8            |
| 821MV021 | <b>6,36</b> | 5            | 4,80    | 5            |
| 821MV031 | 2,55        | 5            | 1,70    | 5            |
| 821MV042 | <b>6,36</b> | 5            | 4,80    | 12           |
| 831MV011 | 0,29        | 5            | 1,86    | 12           |
| 831MV021 | 0,29        | 5            | 0,10    | 8            |
| 831MV031 | 0,29        | 5            | 0,17    | 8            |
| 831MV041 | 0,25        | 5            | 0,35    | 8            |
| 831MV051 | <b>8,53</b> | 5            | 4,66    | 12           |
| 831MV052 | <b>5,89</b> | 5            | 4,14    | 12           |
| 831MV061 | <b>5,90</b> | 5            | 2,20    | 8            |

|           |             |   |      |    |
|-----------|-------------|---|------|----|
| 831MV071  | <b>7,16</b> | 5 | 3,87 | 5  |
| 831MV081  | 2,79        | 5 | 1,51 | 8  |
| 831MV082  | 2,87        | 5 | 1,51 | 12 |
| 831MV091  | 2,86        | 5 | 1,16 | 8  |
| 831MV101  | 2,54        | 5 | 1,23 | 8  |
| 831MV111  | <b>6,35</b> | 5 | 2,75 | 8  |
| 831MV121  | <b>6,34</b> | 5 | 2,81 | 8  |
| 831MV131  | <b>6,35</b> | 5 | 3,38 | 8  |
| 831LV011  | 0,63        | 5 | 0,84 | 8  |
| 831LV021  | 0,26        | 5 | 0,18 | 8  |
| 831LV031  | 0,27        | 5 | 0,18 | 8  |
| 831LV041  | 0,21        | 5 | 3,46 | 8  |
| 831LV051  | <b>7,34</b> | 5 | 3,73 | 8  |
| 831LV052  | <b>7,03</b> | 5 | 3,64 | 8  |
| 831LV053  | <b>6,76</b> | 5 | 3,45 | 8  |
| 831LV054  | 4,95        | 5 | 2,65 | 8  |
| 831LV061  | <b>5,27</b> | 5 | 2,21 | 8  |
| 831LV071  | <b>6,14</b> | 5 | 3,46 | 8  |
| 831LV081  | 2,17        | 5 | 1,25 | 8  |
| 831LV082  | 2,23        | 5 | 1,28 | 8  |
| 831LV091  | 2,24        | 5 | 1,19 | 8  |
| 831LV101  | 2,08        | 5 | 1,29 | 8  |
| 831LV11.1 | <b>5,39</b> | 5 | 2,83 | 8  |
| 831LV12.1 | <b>5,13</b> | 5 | 3,06 | 8  |
| 831LV12.2 | <b>5,47</b> | 5 | 3,06 | 8  |

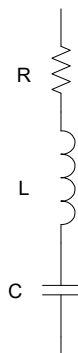
#### 5.4.3.2. Analisis Hasil Simulasi Harmonic

Hasil simulasi menunjukkan sejumlah bus dengan tegangan 6,3 kV mempunyai nilai THDv diatas standard yang diijinkan, dan sejumlah bus dengan tegangan 6,3 kV mempunyai nilai THDi diatas standard yang dijinkan (tercetak tebal).

Model ini merupakan model simulasi harmonik yang digunakan sebagai dasar untuk menentukan fenomena yang timbul bila akan dipasang capacitor bank untuk memperbaiki Power Factor, atau filter harmonic yang selain untuk memperbaiki Power Factor juga untuk meredam Harmonic.

#### 5.4.3.3. Perancangan Filter harmonik pada bus 6.3kV

Filter Harmonic yang digunakan adalah jenis “Single Tuned” seperti ditunjukkan pada Gambar 3.9 dan Gambar 3.10 “high pass damped” dengan nilai komponen-komponennya sebagai berikut :



**Gambar 5.9.** Rangkaian Filter Harmonic jenis “Single Tuned”

831MV031:

$$C = 216.2 \mu F; L = 1.87 \text{ mH} ; R = 0.1 \Omega; \text{ Filter orde 5}$$

$$C = 132.1 \mu F; L = 1.56 \text{ mH} ; R = 0.1 \Omega; \text{ Filter orde 7}$$

831MV041:

$$C = 176.1 \mu F; L = 0.34 \text{ mH} ; R = 0.1 \Omega; \text{ Filter orde 13}$$

$$C = 144.1 \mu F; L = 0.58 \text{ mH} ; R = 0.1 \Omega; \text{ Filter orde 11}$$

831MV042:

$$C = 216.2 \mu F; L = 0.39 \text{ mH} ; R = 0.1 \Omega; \text{ Filter orde 11}$$

831MV051:

$$C = 176.1 \mu F; L = 0.47 \text{ mH} ; R = 0.1 \Omega; \text{ Filter orde 11}$$

$$C = 144.1 \mu F; L = 0.42 \text{ mH} ; R = 0.1 \Omega; \text{ Filter orde 13}$$

831MV061:

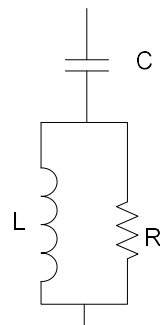
$$C = 176.1 \mu F; L = 1.17 \text{ mH} ; R = 0.1 \Omega; \text{ Filter orde 7}$$

$$C = 144.1 \mu F; L = 2.81 \text{ mH} ; R = 0.1 \Omega; \text{ Filter orde 5}$$

831MV062:

$C = 176.1 \mu F$ ;  $L = 0.34 \text{ mH}$  ;  $R = 0.1 \Omega$ ; Filter orde 13

$C = 144.1 \mu F$ ;  $L = 0.58 \text{ mH}$  ;  $R = 0.1 \Omega$ ; Filter orde 11



**Gambar 5.10.** Rangkaian Filter Harmonic jenis “High pass damped”

#### 5.4.3.4. Simulasi Harmonic dengan Filter Harmonic

Untuk simulasi ini Filter Harmonic dipasang pada Bus 6,3 kV (ER). Dilakukan untuk memperkirakan nilai THD Tegangan dan THD Arus pada tiap-tiap bus akibat pemasangan capacitor bank sebagai filter harmonic (Lampiran 4). Dalam hal ini digunakan filter harmonic ke 5, 7, 11, dan 13. Hasil simulasi (bus-bus utama) ditunjukkan pada Tabel 5.13.

**Tabel 5.12** Hasil Simulasi Harmonic dengan Filter Harmonik

| Nama Bus | % THD V | Standar IEEE | % THD I | Standar IEEE |
|----------|---------|--------------|---------|--------------|
|          |         | % THD V      |         | % TDD        |
| BUS PLN  | 0,46    | 2,5          | 0       | 12           |
| 821MV011 | 0,11    | 5            | 0,14    | 8            |
| 821MV021 | 0,44    | 5            | 0,58    | 5            |
| 821MV031 | 1,00    | 5            | 0,89    | 5            |
| 821MV042 | 0,44    | 5            | 0,17    | 12           |
| 831MV011 | 0,24    | 5            | 2,96    | 12           |
| 831MV021 | 0,18    | 5            | 2,32    | 8            |
| 831MV031 | 0,11    | 5            | 0,58    | 8            |
| 831MV041 | 0,08    | 5            | 0,29    | 8            |
| 831MV051 | 0,24    | 5            | 2,33    | 12           |
| 831MV052 | 0,18    | 5            | 0,59    | 12           |
| 831MV061 | 0,11    | 5            | 0,59    | 8            |

|            |      |   |      |    |
|------------|------|---|------|----|
| 831MV071   | 0,08 | 5 | 0,62 | 5  |
| 831MV081   | 0,61 | 5 | 1,04 | 8  |
| 831MV082   | 0,66 | 5 | 1,35 | 12 |
| 831MV091   | 0,66 | 5 | 0,25 | 8  |
| 831MV101   | 0,84 | 5 | 0,58 | 8  |
| 831MV111   | 2,02 | 5 | 0,29 | 8  |
| 831MV121   | 0,45 | 5 | 0,29 | 8  |
| 831MV131   | 0,45 | 5 | 0,32 | 8  |
| 831LV011   | 0,51 | 5 | 0,32 | 8  |
| 831LV021   | 0,13 | 5 | 0,23 | 8  |
| 831LV031   | 0,10 | 5 | 0,08 | 8  |
| 831LV041   | 0,07 | 5 | 0,05 | 8  |
| 831-LV05.1 | 0,07 | 5 | 0,38 | 8  |
| 831-LV05.2 | 0,53 | 5 | 0,37 | 8  |
| 831-LV05.3 | 0,51 | 5 | 0,36 | 8  |
| 831-LV05.4 | 0,49 | 5 | 0,48 | 8  |
| 831-LV06.1 | 0,61 | 5 | 0,47 | 8  |
| 831-LV07.1 | 0,61 | 5 | 0,63 | 8  |
| 831LV081   | 1,54 | 5 | 1,09 | 8  |
| 831LV082   | 0,38 | 5 | 0,27 | 8  |
| 831LV091   | 0,38 | 5 | 0,25 | 8  |
| 831LV101   | 0,81 | 5 | 0,60 | 8  |
| 831.LV11.1 | 0,80 | 5 | 0,30 | 8  |
| 831.LV12.1 | 1,54 | 5 | 0,28 | 8  |
| 831.LV12.2 | 0,51 | 5 | 0,30 | 8  |

#### 5.4.3.5. Analisis Hasil Simulasi Harmonic dengan Filter Harmonic

Hasil simulasi menunjukkan terjadi penurunan harmonic yang cukup signifikan akibat pemasangan filter harmonic untuk memperbaiki Power Factor. Semua nilai THDv (MV maupun LV) jauh dibawah standard yang diijinkan. Demikian juga untuk THDi kecuali di 3 bus LV yang melewati batas maximumnya. Penggunaan Filter Harmonic bertujuan untuk mengamankan sistem dari efek fatal fenomena resonansi sehingga dapat terhindar dari permasalahan *Resonansi Paralel maupun Resonansi Seri.*

**Tabel 5.13** Daftar Filter Harmonic

|             |  |
|-------------|--|
| 831 – FH031 | 6,3 kV Harmonic Filter (Single Tuned Filter) |
| Raw Mill    | 6,3 kV, 3 Phase, 50 Hz, 2700 kVAR            |

|  |  |
|--|--|
|  | tuning frequency = 250 Hz, Q factor = 45   |
|  | C = 216.20 $\mu\text{F}$ ; L = 1.87 mH ; R = 0.10 $\Omega$ ;<br>XC = 14.73 $\Omega$ (50 Hz) ; XL = 0.59 $\Omega$ (50 Hz) |
|  | outdoor used, free standing, consist of :  |
|  | Three phase capacitor bank   |
|  | 3 x Single phase air core reactor  |
|  | Three phase damping resistor   |
|  | c/w all necessary accessories  |

|             |  |
|-------------|--|
| 831 – FH032 | 6,3 kV Harmonic Filter (Single Tuned Filter)   |
| Raw Mill    | 6,3 kV, 3 Phase, 50 Hz, 1650 kVAR  |
|             | tuning frequency = 350 Hz, Q factor = 45   |
|             | C = 132.10 $\mu\text{F}$ ; L = 1.56 mH ; R = 0.10 $\Omega$ ;<br>XC = 24.11 $\Omega$ (50 Hz) ; XL = 0.49 $\Omega$ (50 Hz) |
|             | outdoor used, free standing, consist of :  |
|             | Three phase capacitor bank   |
|             | 3 x Single phase air core reactor  |
|             | Three phase damping resistor   |
|             | c/w all necessary accessories  |

|                  |  |
|------------------|--|
| 831 – FH41       | 6,3 kV Harmonic Filter (Single Tuned Filter)   |
| Kiln & Preheater | 6,3 kV, 3 Phase, 50 Hz, 2200 kVAR  |
|                  | tuning frequency = 650 Hz, Q factor = 45   |
|                  | C = 176.10 $\mu\text{F}$ ; L = 0.34 mH ; R = 0.10 $\Omega$ ;<br>XC = 18.08 $\Omega$ (50 Hz) ; XL = 0.11 $\Omega$ (50 Hz) |
|                  | outdoor used, free standing, consist of :  |
|                  | Three phase capacitor bank   |
|                  | 3 x Single phase air core reactor  |
|                  | Three phase damping resistor   |

|  |                               |
|--|-------------------------------|
|  | c/w all necessary accessories |
|--|-------------------------------|

|                |  |
|----------------|--|
| 831 – FH42     | 6,3 kV Harmonic Filter (Single Tuned Filter)   |
| Kiln&Preheater | 6,3 kV, 3 Phase, 50 Hz, 1800 kVAR  |
|                | tuning frequency = 550 Hz, Q factor = 45   |
|                | $C = 144.10 \mu F$ ; $L = 0.58 \text{ mH}$ ; $R = 0.10 \Omega$ ;<br>$XC = 22.10 \Omega$ (50 Hz) ; $XL = 0.18 \Omega$ (50 Hz) |
|                | outdoor used, free standing, consist of :  |
|                | Three phase capacitor bank   |
|                | 3 x Single phase air core reactor  |
|                | Three phase damping resistor   |
|                | c/w all necessary accessories  |

|             |  |
|-------------|--|
| 831 – FH043 | 6,3 kV Harmonic Filter (Single Tuned Filter)   |
| Coal Mill   | 6,3 kV, 3 Phase, 50 Hz, 2700 kVAR  |
|             | tuning frequency = 550 Hz, Q factor = 45   |
|             | $C = 216.20 \mu F$ ; $L = 0.39 \text{ mH}$ ; $R = 0.10 \Omega$ ;<br>$XC = 14.73 \Omega$ (50 Hz) ; $XL = 0.12 \Omega$ (50 Hz) |
|             | outdoor used, free standing, consist of :  |
|             | Three phase capacitor bank   |
|             | 3 x Single phase air core reactor  |
|             | Three phase damping resistor   |
|             | c/w all necessary accessories  |

|                |  |
|----------------|--|
| 831 – FH051    | 6,3 kV Harmonic Filter (Single Tuned Filter)   |
| Clinker Cooler | 6,3 kV, 3 Phase, 50 Hz, 2200 kVAR  |
|                | tuning frequency = 550 Hz, Q factor = 45   |
|                | $C = 176.10 \mu F$ ; $L = 0.47 \text{ mH}$ ; $R = 0.10 \Omega$ ;<br>$XC = 18.08 \Omega$ (50 Hz) ; $XL = 0.15 \Omega$ (50 Hz) |
|                | outdoor used, free standing, consist of :  |

|  |                                   |
|--|-----------------------------------|
|  | Three phase capacitor bank        |
|  | 3 x Single phase air core reactor |
|  | Three phase damping resistor      |
|  | c/w all necessary accessories     |

|                |  |
|----------------|--|
| 831 – FH052    | 6,3 kV Harmonic Filter (Single Tuned Filter)   |
| Clinker Cooler | 6,3 kV, 3 Phase, 50 Hz, 1800 kVAR,<br>tuning frequency = 650 Hz, Q factor = 45<br>$C = 144.10 \mu F$ ; $L = 0.42 \text{ mH}$ ; $R = 0.10 \Omega$ ;<br>$XC = 22.10 \Omega$ (50 Hz) ; $XL = 0.13 \Omega$ (50 Hz) |
|                | outdoor used, free standing, consist of :  |
|                | Three phase capacitor bank   |
|                | 3 x Single phase air core reactor  |
|                | Three phase damping resistor   |
|                | c/w all necessary accessories  |

|               |   |
|---------------|---|
| 831 – FH061   | 6,3 kV Harmonic Filter (Single Tuned Filter)  |
| Finish Mill 1 | 6,3 kV, 3 Phase, 50 Hz, 2200 kVAR<br>tuning frequency = 350 Hz, Q factor = 45<br>$C = 176.10 \mu F$ ; $L = 1.17 \text{ mH}$ ; $R = 0.10 \Omega$ ;<br>$XC = 18.08 \Omega$ (50 Hz) ; $XL = 0.37 \Omega$ (50 Hz) |
|               | outdoor used, free standing, consist of :   |
|               | Three phase capacitor bank  |
|               | 3 x Single phase air core reactor   |
|               | Three phase damping resistor  |
|               | c/w all necessary accessories   |

|               |  |
|---------------|--|
| 831 – FH06.2  | 6,3 kV Harmonic Filter (Single Tuned Filter) |
| Finish Mill 1 | 6,3 kV, 3 Phase, 50 Hz, 1800 kVAR            |
|               | tuning frequency = 250 Hz, Q factor = 45     |

|  |  |
|--|--|
|  | $C = 144.10 \mu F$ ; $L = 2.81 \text{ mH}$ ; $R = 0.10 \Omega$ ;<br>$XC = 22.10 \Omega$ (50 Hz) ; $XL = 0.88 \Omega$ (50 Hz) |
|  | outdoor used, free standing, consist of :  |
|  | Three phase capacitor bank   |
|  | 3 x Single phase air core reactor  |
|  | Three phase damping resistor   |
|  | c/w all necessary accessories  |

|               |  |
|---------------|--|
| 831 – FH063   | 6,3 kV Harmonic Filter (Single Tuned Filter)   |
| Finish Mill 2 | 6,3 kV, 3 Phase, 50 Hz, 2200 kVAR  |
|               | tuning frequency = 650 Hz, Q factor = 45   |
|               | $C = 176.10 \mu F$ ; $L = 0.34 \text{ mH}$ ; $R = 0.10 \Omega$ ;<br>$XC = 18.08 \Omega$ (50 Hz) ; $XL = 0.11 \Omega$ (50 Hz) |
|               | outdoor used, free standing, consist of :  |
|               | Three phase capacitor bank   |
|               | 3 x Single phase air core reactor  |
|               | Three phase damping resistor   |
|               | c/w all necessary accessories  |

|               |  |
|---------------|--|
| 831 – FH064   | 6,3 kV Harmonic Filter (Single Tuned Filter)   |
| Finish Mill 2 | 6,3 kV, 3 Phase, 50 Hz, 2500 kVAR  |
|               | tuning frequency = 550 Hz, Q factor = 45   |
|               | $C = 144.10 \mu F$ ; $L = 0.58 \text{ mH}$ ; $R = 0.10 \Omega$ ;<br>$XC = 22.10 \Omega$ (50 Hz) ; $XL = 0.18 \Omega$ (50 Hz) |
|               | outdoor used, free standing, consist of :  |
|               | Three phase capacitor bank   |
|               | 3 x Single phase air core reactor  |
|               | Three phase damping resistor   |
|               | c/w all necessary accessories  |

Hasil simulasi menunjukkan terjadi penurunan harmonic yang cukup signifikan akibat pemasangan filter harmonik untuk memperbaiki Power Factor. Penggunaan Filter Harmonik bertujuan untuk mengamankan sistem dari efek fatal fenomena resonansi sehingga dapat terhindar dari permasalahan *Resonansi Paralel maupun Resonansi Seri*.

## 5.5. Koordinasi Relay Protection

Koordinasi rele merupakan pengaturan setting arus dan waktu beberapa rele yang berada di sisi hulu (upstream) dan hilir (downstream) yang bertujuan untuk memperoleh selektivitas yang tinggi dalam meminimalisi gangguan yang terjadi agar tidak meluas, sehingga kontinuitas system tetap terjaga.

Kecepatan waktu pemutusan yang tepat akan dapat memberikan perlindungan yang baik bagi sistem dan peralatan yang ada, agar tidak mengalami dampak yang buruk akibat terjadinya gangguan, juga mencegah terjadinya kebakaran.

Studi yang dilakukan meliputi beberapa hal yaitu :

- a) Analisa teknis terhadap sistem pengaman
- b) Rekomendasi setting dan koordinasi peralatan proteksi
- c) Plot kurva koordinasi arus dan waktu untuk peralatan pengaman dari sisi hilir (downstream) sampai ke sisi hulu (upstream)

### 5.5.1. Analisa Setting dan Koordinasi Peralatan Pengaman

Analisa untuk setting dan koordinasi peralatan pengaman (rele dan breaker/fuse) memperhatikan beberapa hal antara lain :

- a. Fungsi sensitivitas, peralatan pengaman harus dapat merasakan dan mengamankan arus gangguan minimum pada titik gangguan yang terdekat.

- b. Fungsi selektivitas, peralatan pengaman tidak boleh bekerja untuk arus starting motor, arus pengisian (inrush current) pada transformator. Untuk peralatan pengaman yang berada di hulu harus dapat merasakan gangguan pada titik gangguan yang berada di hilir dan operasinya harus menunggu apabila terjadi kegagalan operasi pemutusan gangguan oleh peralatan pengaman dibawahnya (sisi hilir)
- c. Fungsi koordinasi, kerja peralatan pengaman dalam menjalankan fungsi sensitivitas dan selektivitas untuk daerah hulu sampai ke hilir harus dikoordinasikan dari segi penyetelan waktu dan arusnya. Dari hasil koordinasi tidak boleh terjadi adanya beberapa peralatan pengaman yang bekerja secara bersamaan waktu (di luar ketentuan yang dikehendaki), waktu pemutusan gangguan yang melampaui batas ketahanan peralatan listrik dan sebagainya.

Berdasar standard IEEE 242 rincian waktu yang dibutuhkan untuk memutuskan arus gangguan dihitung dari relay mengenali gangguan sampai circuit breaker membuka adalah :

Waktu terbuka Circuit breaker : 0,04 – 0,1 det (2-5 Cycle)

Over-travel dari relay : 0,1 det

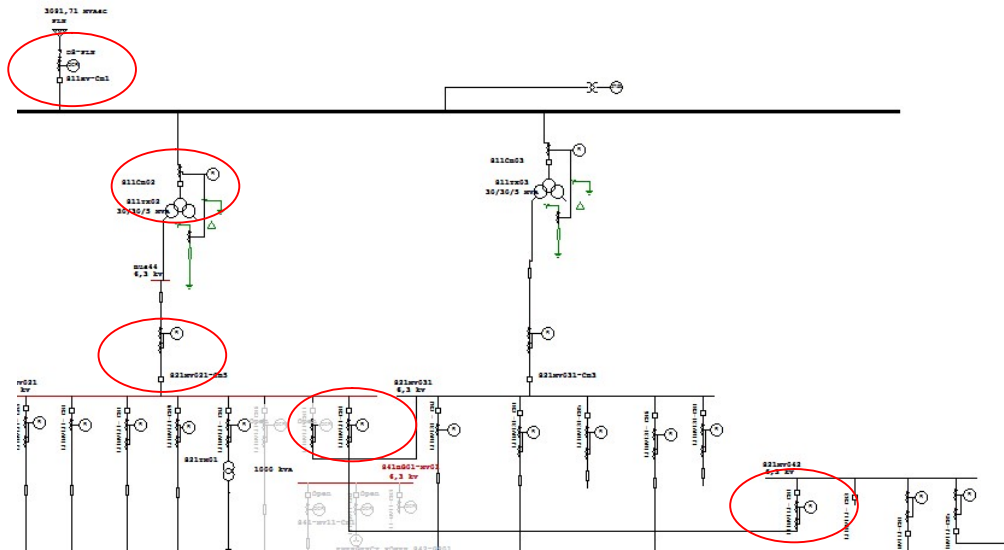
Faktor Keamanan : 0,12 – 0,22 det

Untuk relay static dan relay digital berbasis microprocessor overt-travel time dari relay dapat diabaikan, sehingga total waktu kerja relay sampai circuit breaker memebuka adalah 0,2 - 0,4 detik. Dengan dasar perhitungan standard diatas waktu kerja relay sampai CB OPEN dipilih 0,2 detik. Perbedaan waktu ini untuk memastikan bahwa gangguan di sisi hilir telah berhasil padam, sehingga kemungkinan trip serentak dapat dihindarkan.

### **5.5.2. Koordinasi Relay Pengaman Kelistrikan Pabrik Semen Aceh**

Sistem pengaman pada sistem kelistrikan pabrik semen Aceh dapat dapat diwakili oleh satu contoh typical setting dengan jalur terpanjang yaitu, dari BUS

831MV042 sampai HV CB PLN. Typical setting dapat dilihat pada Gambar 6.11 dibawah ini. Typical setting ini mewakili semua jalur/feeder yang ada pada sistem kelistrikan pabrik semen Aceh.



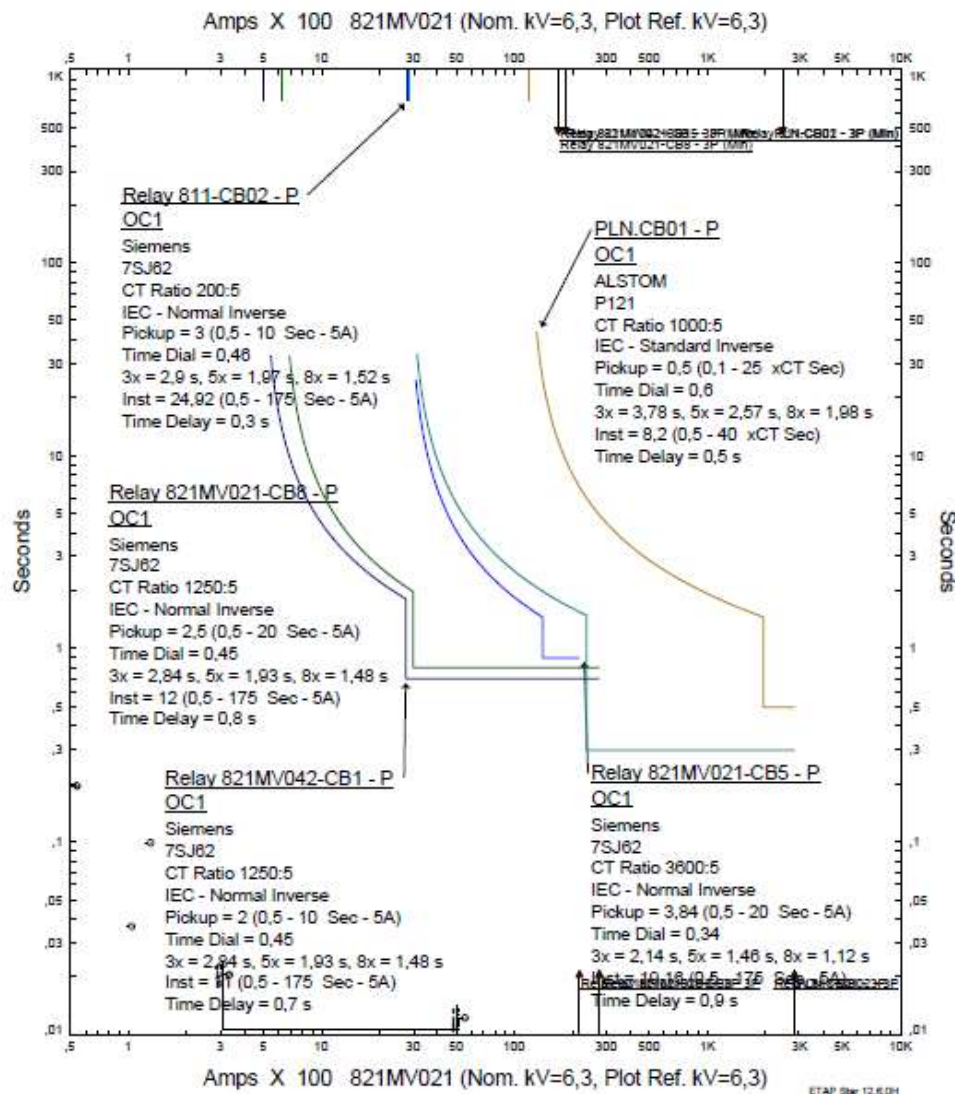
**Gambar 5.11 Koordinasi Typical**

Pada Gambar 5.11, dapat dilihat letak peralatan proteksi dengan nama peralatan (ID) disesuaikan dengan nama circuit breakernya.

Selain setting waktu, juga diperlukan setting arus high set dengan mempertimbangkan arus magnetisasi (inrush current) pada trafo dan arus starting motor berdaya besar.

Dengan setting ini maka akan didapatkan sensitifitas relay yang bertingkat, dimana relay feeder beban adalah yang paling sensitive terhadap gangguan. Diharapkan dengan setting ini maka jika terjadi gangguan pada beban, maka relay feeder yang akan paling cepat merespon gangguan dan circuit breakernya paling cepat membuka.

Plot kurva-kurva koordinasi untuk Typical Setting ditunjukkan pada Gambar 5.12.



**Gambar 5.12 Kurva TCC Koordinasi Proteksi**

## 811 HV-CB1

### 1. Relay Technical Data :

- ID : PLN CB1
- Brand Relay : Alstom P121
- Relay Functions : Instantaneous/Definite Phase Overcurrent (50), Inverse Phase Overcurrent (51), Instantaneous/Definite Ground/Neutral Fault (50N), Inverse Ground/Neutral Fault (51N),

- Unbalance/Negative Sequence (46), Undervoltage (27), Overvoltage (59)
- CT Ratio : 1000/5
  - Z-CT Ratio : 1000/5

## 2. Relay Setting :

- a. Inverse Phase Overcurrent (51) & Instantaneous/Definite Phase Overcurrent (50) Protection

| Relay Functions |                      |           |      |                |
|-----------------|----------------------|-----------|------|----------------|
| 51              |                      | 50        |      |                |
| I >             | Characteristic Curve | Time Dial | I >> | Time Delay (s) |
| 0,5             | IEC-Standard Inverse | 0,6       | 8,2  | 0.5            |

- b. Inverse Ground/Neutral Fault (51N) & Instantaneous/Definite Ground/Neutral Fault (50N) Protection

| Relay Functions |                      |           |      |                |
|-----------------|----------------------|-----------|------|----------------|
| 51N             |                      | 50N       |      |                |
| I >             | Characteristic Curve | Time Dial | I >> | Time Delay (s) |
| Disable         | Disable              | Disable   | 1    | 0.3            |

- c. Definite Level 1 Unbalance/Negative Sequence (46-1) & Definite Level 2 Unbalance/Negative Sequence (46-2) Protection

| Relay Functions |                |         |                |
|-----------------|----------------|---------|----------------|
| 46-1            |                | 46-2    |                |
| I >             | Time Delay (s) | I >>    | Time Delay (s) |
| Disable         | Disable        | Disable | Disable        |

## 811CB02

### 1. Relay Technical Data :

- Relay : Tag 811CB02
- Type Relay : Siemens 7SJ62

- Relay Functions : Instantaneous/Definite Phase Overcurrent (50), Inverse Phase Overcurrent (51), Instantaneous/Definite Ground/Neutral Fault (50N), Inverse Ground/Neutral Fault (51N), Unbalance/Negative Sequence (46), Undervoltage (27), Overvoltage (59)
- CT Ratio : 200/5
- Z-CT Ratio : 200/5

## 2. Relay Setting :

- a. Inverse Phase Overcurrent (51) & Instantaneous/Definite Phase Overcurrent (50) Protection

| Relay Functions |                      |           |       |                |
|-----------------|----------------------|-----------|-------|----------------|
| 51              |                      | 50        |       |                |
| I >             | Characteristic Curve | Time Dial | I >>  | Time Delay (s) |
| 3               | IEC-Very Inverse     | 0,46      | 24,92 | 0,3            |

- b. Inverse Ground/Neutral Fault (51N) & Instantaneous/Definite Ground/Neutral Fault (50N) Protection

| Relay Functions |                      |           |      |                |
|-----------------|----------------------|-----------|------|----------------|
| 51N             |                      | 50N       |      |                |
| I >             | Characteristic Curve | Time Dial | I >> | Time Delay (s) |
| Disable         | Disable              | Disable   | 1,5  | 0,01           |

- c. Definite Level 1 Unbalance/Negative Sequence (46-1) & Definite Level 2 Unbalance/Negative Sequence (46-2) Protection

| Relay Functions |                |         |                |
|-----------------|----------------|---------|----------------|
| 46-1            |                | 46-2    |                |
| I >             | Time Delay (s) | I >>    | Time Delay (s) |
| Disable         | Disable        | Disable | Disable        |

## Incoming from 811TX02

### 1. Relay Technical Data :

- Relay : Relay 821MV021-CB5
- Type Relay : Siemens 7SJ62
- Relay Functions : Instantaneous/Definite Phase Overcurrent (50), Inverse Phase Overcurrent (51), Instantaneous/Definite Ground/Neutral Fault (50N), Inverse Ground/Neutral Fault (51N), Unbalance/Negative Sequence (46), Undervoltage (27), Overvoltage (59)
- CT Ratio : 3600/5
- Z-CT Ratio : 300/5

### 2. Relay Setting :

- a. Inverse Phase Overcurrent (51) & Instantaneous/Definite Phase Overcurrent (50) Protection

| Relay Functions |                      |           |       |                |
|-----------------|----------------------|-----------|-------|----------------|
| 51              |                      |           | 50    |                |
| I >             | Characteristic Curve | Time Dial | I>>   | Time Delay (s) |
| 3,84            | IEC-Very Inverse     | 0,34      | 19,16 | 0.9            |

- b. Inverse Ground/Neutral Fault (51N) & Instantaneous/Definite Ground/Neutral Fault (50N) Protection

| Relay Functions |                      |           |      |                |
|-----------------|----------------------|-----------|------|----------------|
| 51N             |                      |           | 50N  |                |
| I >             | Characteristic Curve | Time Dial | I>>  | Time Delay (s) |
| Disable         | Disable              | Disable   | 0,25 | 1,2            |

- c. Definite Level 1 Unbalance/Negative Sequence (46-1) & Definite Level 2 Unbalance/Negative Sequence (46-2) Protection

| Relay Functions |
|-----------------|
|-----------------|

| 46-1           |                | 46-2           |                |
|----------------|----------------|----------------|----------------|
| I >            | Time Delay (s) | I >>           | Time Delay (s) |
| <b>Disable</b> | <b>Disable</b> | <b>Disable</b> | <b>Disable</b> |

### Outgoing To 831MV041

#### 1. Relay Technical Data :

- Relay : Relay 821MV021-CB8
- Type Relay : Siemens 7SJ62
- Relay Functions : Instantaneous/Definite Phase Overcurrent (50), Inverse Phase Overcurrent (51), Instantaneous/Definite Ground/Neutral Fault (50N), Inverse Ground/Neutral Fault (51N), Unbalance/Negative Sequence (46), Undervoltage (27), Overvoltage (59)
- CT Ratio : 1250/5
- Z-CT Ratio : 300/5

#### 2. Relay Setting :

- a. Inverse Phase Overcurrent (51) & Instantaneous/Definite Phase Overcurrent (50) Protection

| Relay Functions |                      |           |      |                |
|-----------------|----------------------|-----------|------|----------------|
| 51              |                      |           | 50   |                |
| I >             | Characteristic Curve | Time Dial | I >> | Time Delay (s) |
| 2,5             | IEC-Very Inverse     | 0,45      | 12   | 0.8            |

- b. Inverse Ground/Neutral Fault (51N) & Instantaneous/Definite Ground/Neutral Fault (50N) Protection

| Relay Functions |                      |                |      |                |
|-----------------|----------------------|----------------|------|----------------|
| 51N             |                      |                | 50N  |                |
| I >             | Characteristic Curve | Time Dial      | I >> | Time Delay (s) |
| <b>Disable</b>  | <b>Disable</b>       | <b>Disable</b> | 0,25 | 0.5            |

- c. Definite Level 1 Unbalance/Negative Sequence (46-1) & Definite Level 2 Unbalance/Negative Sequence (46-2) Protection

| Relay Functions |                |                |                |  |
|-----------------|----------------|----------------|----------------|--|
| 46-1            |                | 46-2           |                |  |
| I >             | Time Delay (s) | I >>           | Time Delay (s) |  |
| <b>Disable</b>  | <b>Disable</b> | <b>Disable</b> | <b>Disable</b> |  |

### Incoming from 821MV021

#### 1. Relay Technical Data :

- Relay : Relay 821MV042-CB1
- Type Relay : 7SJ62
- Relay Functions : Instantaneous/Definite Phase Overcurrent (50), Inverse Phase Overcurrent (51), Instantaneous/Definite Ground/Neutral Fault (50N), Inverse Ground/Neutral Fault (51N), Unbalance/Negative Sequence (46), Undervoltage (27), Overvoltage (59)
- CT Ratio : 1250/5
- Z-CT Ratio : 300/5

#### 2. Relay Setting :

- a. Inverse Phase Overcurrent (51) & Instantaneous/Definite Phase Overcurrent (50) Protection

| Relay Functions |                      |           |      |                |
|-----------------|----------------------|-----------|------|----------------|
| 51              |                      |           | 50   |                |
| I >             | Characteristic Curve | Time Dial | I >> | Time Delay (s) |
| 2               | IEC-Normal Inverse   | 0,45      | 11   | 0.7            |

- b. Inverse Ground/Neutral Fault (51N) & Instantaneous/Definite Ground/Neutral Fault (50N) Protection

| Relay Functions |                |      |      |      |
|-----------------|----------------|------|------|------|
| 51N             |                |      | 50N  |      |
| I >             | Characteristic | Time | I >> | Time |

|                |                |                |      |           |
|----------------|----------------|----------------|------|-----------|
|                | Curve          | Dial           |      | Delay (s) |
| <b>Disable</b> | <b>Disable</b> | <b>Disable</b> | 0,25 | 0.7       |

- c. Definite Level 1 Unbalance/Negative Sequence (46-1) & Definite Level 2 Unbalance/Negative Sequence (46-2) Protection

| Relay Functions |                |                |                |
|-----------------|----------------|----------------|----------------|
| 46-1            |                | 46-2           |                |
| I >             | Time Delay (s) | I >>           | Time Delay (s) |
| <b>Disable</b>  | <b>Disable</b> | <b>Disable</b> | <b>Disable</b> |

Selain setting waktu, juga diperlukan setting arus high set dengan mempertimbangkan arus magnetisasi (inrush current) pada trafo dan arus starting motor berdaya besar.

Dengan setting ini maka akan didapatkan sensitifitas relay yang bertingkat, dimana relay feeder beban adalah yang paling sensitive terhadap gangguan. Diharapkan dengan setting ini maka jika terjadi gangguan pada beban, maka relay feeder yang akan paling cepat merespon gangguan dan circuit breakernya paling cepat membuka.